



(19) 대한민국특허청(KR)  
(12) 등록특허공보(B1)

(45) 공고일자 2023년09월18일  
(11) 등록번호 10-2579440  
(24) 등록일자 2023년09월12일

(51) 국제특허분류(Int. Cl.)  
H05K 7/20 (2006.01) H02M 7/00 (2006.01)  
(52) CPC특허분류  
H05K 7/209 (2013.01)  
H02M 7/003 (2021.05)  
(21) 출원번호 10-2019-0001247  
(22) 출원일자 2019년01월04일  
심사청구일자 2021년09월30일  
(65) 공개번호 10-2020-0085116  
(43) 공개일자 2020년07월14일  
(56) 선행기술조사문헌  
KR1020160050282 A  
KR1020170069322 A  
KR1020180038597 A  
JP2016063625 A

(73) 특허권자  
현대모비스 주식회사  
서울특별시 강남구 테헤란로 203 (역삼동)  
(72) 발명자  
박유철  
경기도 용인시 기흥구 마북로240번길 17-2 (마북동)  
(74) 대리인  
특허법인지명

전체 청구항 수 : 총 11 항

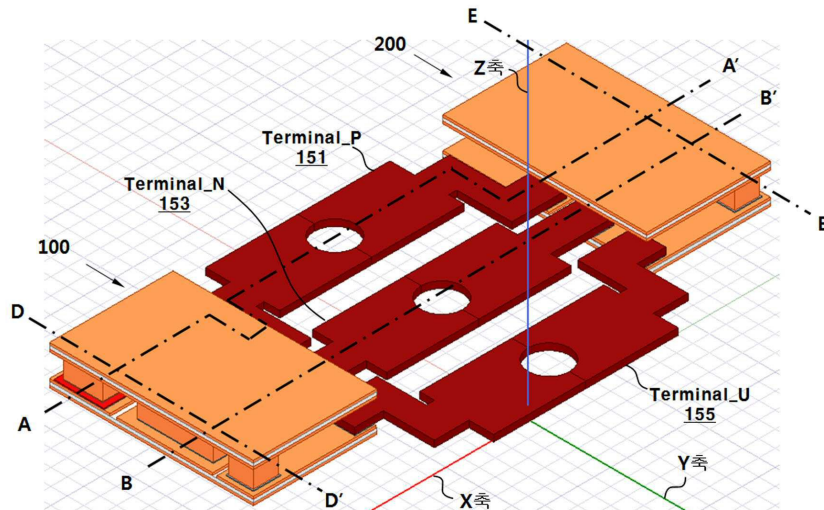
심사관 : 양진석

(54) 발명의 명칭 양면 냉각형 파워 모듈

(57) 요약

본 발명의 양면 냉각형 파워 모듈은 제1 상부기판, 제1 하부 기판 및 상기 제1 상부기판과 상기 제1 하부 기판 사이에 임베딩된 상기 하이-사이드 다이오드 소자와 상기 로우-사이드 스위칭 소자를 포함하도록 모듈화된 제1 파워 모듈; 및 제2 상부 기판, 제2 하부 기판 및 상기 제2 상부기판과 상기 제2 하부 기판 사이에 임베딩된 상기 하이-사이드 스위칭 소자와 상기 로우-사이드 다이오드 소자를 포함하도록 모듈화된 제2 파워 모듈을 포함한다.

대표도 - 도7



**명세서**

**청구범위**

**청구항 1**

직렬 연결된 하이-사이드(high-side) 스위칭 소자와 로우-사이드(low-side) 스위칭 소자를 포함하고, 상기 하이-사이드 스위칭 소자에 병렬 연결된 하이-사이드 다이오드 소자 및 상기 로우-사이드 스위칭 소자에 병렬 연결된 로우-사이드 다이오드 소자를 포함하는 인버터 암(arm)이 모듈화된 양면 냉각형 파워 모듈에서,

제1 상부기관, 제1 하부 기관 및 상기 제1 상부기관과 상기 제1 하부 기관 사이에 임베딩된 상기 하이-사이드 다이오드 소자와 상기 로우-사이드 스위칭 소자를 포함하도록 모듈화된 제1 파워 모듈; 및

제2 상부 기관, 제2 하부 기관 및 상기 제2 상부기관과 상기 제2 하부 기관 사이에 임베딩된 상기 하이-사이드 스위칭 소자와 상기 로우-사이드 다이오드 소자를 포함하도록 모듈화된 제2 파워 모듈

을 포함하는 양면 냉각형 파워 모듈.

**청구항 2**

제1항에서,

상기 하이-사이드 다이오드는 상기 제1 하부 기관 상에 실장되고, 상기 로우-사이드 스위치 소자는 상기 제1 상부 기관 상에 실장되는 것인 양면 냉각형 파워 모듈.

**청구항 3**

제1항에서,

상기 하이-사이드 스위칭 소자는 상기 제2 하부 기관상에 실장되고, 상기 로우-사이드 다이오드 소자는 상기 제2 상부 기관 상에 실장되는 양면 냉각형 파워 모듈.

**청구항 4**

제1항에서,

상기 제1 파워 모듈은,

상기 제1 하부 기관 상에 실장되는 상기 하이-사이드 다이오드 소자를 상기 제1 상부 기관에 전기적으로 연결하는 하이-사이드 스페이서; 및

상기 제1 상부 기관 상에 실장되는 상기 로우-사이드 스위칭 소자를 상기 제1 하부 기관에 전기적으로 연결하는 로우-사이드 스페이서;

를 포함하는 것인 양면 냉각형 파워 모듈.

**청구항 5**

제1항에서,

상기 제2 파워 모듈은,

상기 제2 하부 기관 상에 실장되는 상기 하이-사이드 스위칭 소자를 상기 제2 상부 기관에 전기적으로 연결하는 하이-사이드 스페이서; 및

상기 제2 상부 기관 상에 실장되는 상기 로우-사이드 다이오드 소자를 상기 제2 하부 기관에 전기적으로 연결하는 로우-사이드 스페이서

를 포함하는 것인 양면 냉각형 파워 모듈.

**청구항 6**

제1항에서,

상기 제1 하부 기판상에 실장되는 상기 하이-다이오드 소자와 상기 제2 하부 기판 상에 실장되는 상기 하이-사이드 스위칭 소자에 공통으로 연결되는 제1 단자(Terminal\_P); 및

상기 제1 상부 기판 상에 실장되는 상기 로우-사이드 스위칭 소자를 상기 제1 하부 기판에 전기적으로 연결하는 로우-사이드 스페이서와 상기 제2 상부 기판 상에 실장되는 상기 로우-사이드 다이오드 소자를 상기 제2 하부 기판에 전기적으로 연결하는 로우-사이드 스페이서에 공통으로 연결되는 제2 단자(Terminal\_N)

를 포함하는 것인 양면 냉각형 파워 모듈.

#### 청구항 7

제6항에서,

상기 제1 단자(Terminal\_P)는,

상기 하이-다이오드 소자와 상기 하이-사이드 스위칭 소자에게 양의 전압을 인가하는 양극 단자가 결합되는 결합홀을 가지며,

상기 제2 단자(Terminal\_N)는,

상기 로우-사이드 스위칭 소자와 상기 로우-사이드 다이오드 소자에게 음의 전압을 인가하는 음극 단자가 결합되는 결합홀을 갖는 것인 양면 냉각형 파워 모듈.

#### 청구항 8

제6항에서,

상기 하이-사이드 다이오드 소자와 상기 제1 단자(Terminal\_P)의 한쪽 단부를 전기적으로 연결하도록 상기 제1 하부 기판 상에 패터닝된 제1 배선 패턴(L1);

상기 하이-사이드 스위칭 소자와 상기 제1 단자(Terminal\_P)의 다른쪽 단부를 전기적으로 연결하도록 상기 제2 하부 기판 상에 패터닝되는 제2 배선 패턴(L2);

상기 제1 상부 기판 상에 실장되는 상기 로우-사이드 스위칭 소자를 상기 제1 하부 기판에 전기적으로 연결하는 로우-사이드 스페이서와 상기 제2 단자(Terminal\_N)의 한쪽 단부를 전기적으로 연결하도록 상기 제2 하부 기판 상에 패터닝되는 제3 배선 패턴(L3);

상기 제2 상부 기판상에 실장되는 상기 로우-사이드 다이오드 소자를 상기 제2 하부 기판에 전기적으로 연결하는 로우-사이드 스페이서와 상기 제2 단자(Terminal\_N)의 한쪽 단부를 전기적으로 연결하도록 상기 제2 하부 기판 상에 패터닝되는 제4 배선 패턴(L4);

#### 청구항 9

제6항에서,

상기 제1 하부 기판 상에 실장되는 하이-사이드 다이오드 소자를 상기 제1 상부 기판에 전기적으로 연결하는 하이-사이드 스페이서와 상기 제1 상부 기판상에 실장되는 로우-사이드 스위칭 소자에 전기적으로 연결하도록 상기 제1 상부 기판상에 패터닝되는 제5 배선 패턴(L5); 및

상기 제2 하부 기판상에 실장되는 하이-사이드 스위칭 소자와 제2 상부 기판을 전기적으로 연결하는 하이-사이드 스페이서와 상기 제2 상부 기판상에 실장되는 로우-사이드 다이오드 소자를 전기적으로 연결하도록 상기 제2 상부 기판상에 패터닝되는 제6 배선 패턴(L6);

을 포함하는 것인 양면 냉각형 파워 모듈.

#### 청구항 10

제1항에서,

스트레이 인덕턴스(stray inductance)의 해석에 따른 제1 전류 경로는,

제1 단자(Terminal\_P);

상기 제2 하부 기관상에 실장되어, 상기 제1 단자(Terminal\_P)와 전기적으로 연결되는 하이-사이드 스위칭 소자;

상기 하이-사이드 스위칭 소자와 상기 제2 상부 기관을 전기적으로 연결하는 하이-사이드 스페이서;

상기 제2 상부 기관 상에 실장되어, 상기 하이-사이드 스페이서와 전기적으로 연결되는 로우-사이드 다이오드 소자;

상기 로우-사이드 다이오드 소자와 상기 제2 하부 기관을 전기적으로 연결하는 로우-사이드 스페이서; 및

상기 로우-사이드 스페이서와 전기적으로 연결되는 제2 단자(단자\_N)

를 포함하도록 구성된 경로인 것인 양면 냉각형 파워 모듈.

### 청구항 11

제1항에서,

스트레이 인덕턴스(stray inductance)의 해석에 따른 제2 전류 경로는,

제1 단자(Terminal\_P);

상기 제1 하부 기관 상에 실장되어, 상기 제1 단자(Terminal\_P)와 전기적으로 연결되는 하이-사이드 다이오드 소자;

상기 하이-사이드 다이오드 소자와 상기 제1 상부 기관을 전기적으로 연결하는 하이-사이드 스페이서;

상기 제1 상부 기관 상에 실장되어, 상기 하이-사이드 스페이서와 전기적으로 연결되는 로우-사이드 스위칭 소자;

상기 로우-사이드 스위칭 소자와 상기 제1 하부 기관을 전기적으로 연결하는 로우-사이드 스페이서; 및

상기 로우-사이드 스페이서와 전기적으로 연결되는 제2 단자(Terminal\_N)

를 포함하도록 구성된 경로인 것인 양면 냉각형 파워 모듈.

### 발명의 설명

#### 기술 분야

[0001] 본 발명은 하이브리드 자동차 및 전기자동차의 구동모터를 작동시키는 양면 냉각형 파워 모듈에 관한 것이다.

#### 배경 기술

[0003] 하이브리드 자동차 및 전기자동차의 구동모터를 작동시키기 위해서는 인버터가 필수적이다. 구동모터의 효율을 향상시키기 위해서는, 인버터에 포함되는 일종의 스위치 소자인 파워모듈을 소형화시키고, 동시에 냉각효율을 향상시키는 것이 중요하다.

[0004] 두 개의 기관 사이에 반도체칩을 설치하여 양 기관의 바깥쪽에 냉각기를 설치하는 양면냉각 파워모듈은 단면 냉각 파워모듈에 비해 냉각 효율이 높고, 회로 구조를 단순화시킬 수 있어 파워모듈의 소형화를 위해 중요한 기술이다.

[0005] 도 1은 종래의 인버터를 나타내는 회로도이다.

[0006] 도 1에 도시된 바와 같이, 종래의 인버터는 양극 단자(Terminal\_P)와 음극 단자(Terminal\_N) 사이에 병렬 연결된 인버터 암(arm, 이하, '파워 모듈'이라 함)들(11, 13, 15)을 포함한다.

[0007] 각 인버터 암은 직렬 연결된 하이-사이드(high-side) 트랜지스터( $T_{high}$ )와 로우-사이드(low-side) 트랜지스터( $T_{low}$ )를 포함하고, 이들 트랜지스터와 각각 병렬로 연결된 하이 다이오드( $D_{high}$ )와 로우 다이오드( $D_{low}$ )를 포함한다. 각 파워 모듈은 하이 트랜지스터( $T_{high}$ )와 로우 트랜지스터( $T_{low}$ ) 사이의 출력 단자(Terminal\_U, Terminal\_V, Terminal\_W)를 통해 서로 다른 상의 전압을 구동 모터(M)에 인가한다.

- [0008] 도 2는 종래의 파워 모듈의 구조를 나타낸 3차원 모델이고, 도 3은 도 2에 도시한 3차원 모델을 도 2에 도시한 Y 축 방향(A 시점)으로 바라본 측면도이고, 도 4는 도 2에 도시한 3차원 모델을 위에서 바라본 것으로, 파워 모듈의 내부 구조를 명확히 보여주기 위해, 상부 기판을 제거한 상태에서 3차원 모델을 위에서 바라본 평면도이다. 한편, 도 3은 Y 축 방향(A 시점)으로 바라본 측면도이므로, 도 4에서 도시한 하이 트랜지스터( $T_{high}$ ), 하이 다이오드( $D_{high}$ )와 같은 반도체 소자들과 일부 스페이서 구조물들이 로우 트랜지스터( $T_{low}$ ), 로우 다이오드( $D_{low}$ ) 등의 반도체 소자들에 의해 가려진 상태이기 때문에, 하이 트랜지스터( $T_{high}$ ), 하이 다이오드( $D_{high}$ )와 같은 반도체 소자들이 도 3에서는 나타나지 않는다.
- [0009] 도 2 내지 4을 참조하면, 파워 모듈은 상부 기판(10), 하부 기판(30), 이들(10, 30) 사이에 칩 형태로 임베딩된 다수의 전력용 반도체 소자(하이 트랜지스터( $T_{high}$ )와 로우 트랜지스터( $T_{low}$ ), 하이 다이오드( $D_{high}$ )와 로우 다이오드( $D_{low}$ )) 및 스페이서(spacer, 23)를 포함한다.
- [0010] 먼저, 상부 기판(10)은 솔더(solder, 21)에 의해 스페이서(23)의 상부면과 전기적으로 연결된다. 여기서, 스페이서(23)는 금속 재질이다. 스페이서(23)의 하부면은 솔더(25)에 의해 하부 기판(30) 상에 탑재되는 반도체 소자들과 전기적으로 연결된다. 각 반도체 소자( $T_{high}$ ,  $T_{low}$ ,  $D_{high}$ ,  $D_{low}$ )의 하부면은 솔더(29)에 의해 하부 기판(30)과 전기적으로 연결된다.
- [0011] 또한, 하부 기판(30)은 솔더(20)에 의해 단자들(Terminal\_P, Terminal\_N, Terminal\_U)의 일단부와 전기적으로 연결되어, 파워 모듈은 단자들(Terminal\_P, Terminal\_N)을 통해 전류(또는 전압)를 인가하는 외부 유닛 및 단자를 통해(Terminal\_U) 구동모터와 전기적으로 연결된다.
- [0012] 종래의 파워 모듈에서는, 도 2 내지 4에 도시된 바와 같은 구조에 기인한 스트레이 인덕턴스(stray inductance)에 의해 하부 기판(30)상에 탑재되는 반도체 소자( $T_{high}$ ,  $T_{low}$ )의 턴-오프(turn-off) 시, 각 반도체 소자에서 과전압(overvoltage)이 발생하고, 이러한 과전압은 노이즈 및 반도체 소자를 손상시킨다.
- [0013] 도 5는 도 2 내지 4에 도시한 종래의 파워 모듈의 3차원 구조에서 스트레이 인덕턴스(stray inductance)의 해석에 따른 제1 전류 경로를 평면도와 등가회로 상에 나타낸 도면이고, 도 6은 스트레이 인덕턴스(stray inductance)의 해석에 따른 제2 전류 경로를 평면도와 등가회로 상에 나타낸 도면이다.
- [0014] 스트레이 인덕턴스(stray inductance)의 해석에 따른 제1 전류 경로는 도 5에 도시된 바와 같이, 단자 P(Terminal\_P)에 의한 경로(①), 하이 트랜지스터( $T_{high}$ )에 의한 경로(②), 상부 기판(10)에 패터닝된 배선 패턴에 의한 경로(③, ④), 스페이서(23)에 의한 상부기판에서 하부 기판을 내려가는 경로(⑤), 로우 다이오드( $D_{low}$ )에 의한 경로(⑥), 로우 다이오드( $D_{low}$ )와 상부 기판을 연결하는 스페이서와 상부 기판(10)에 패터닝된 배선 패턴(⑦, ⑧), 상부 기판에서 하부 기판으로 내려가는 스페이서에 의한 경로(⑨) 및 단자 N(Terminal\_N)에 의한 경로(⑩)를 포함한다.
- [0015] 스트레이 인덕턴스(stray inductance)의 해석에 따른 제2 전류 경로는, 도 6에 도시된 바와 같이, 단자 P에 의한 경로(①), 하이 다이오드( $D_{high}$ )에 의한 경로(②), 하이 다이오드( $D_{high}$ )와 상부기판(10)을 연결하는 스페이서와 상부기판에 패터닝된 배선패턴에 의한 경로(③), 상부기판(10)에서 하부기판(30)으로 내려가는 스페이서에 의한 경로(④), 로우 트랜지스터( $T_{low}$ )에 의한 경로(⑤), 로우 트랜지스터( $T_{low}$ )와 상부기판을 연결하는 스페이서와 상부 기판에 패터닝된 배선 패턴에 의한 경로(⑥), 상부 기판에서 하부 기판으로 내려가는 스페이서에 의한 경로(⑦) 및 단자 N에 의한 경로(⑧)를 포함한다.
- [0016] 이와 같이, 종래의 파워 모듈에서는, 스트레이 인덕턴스(stray inductance)를 유발하는 다수의 전류 경로가 형성되기 때문에, 과전압에 따른 노이즈 및 반도체 소자를 손상을 유발하는 문제가 있다.
- [0017] 과전압을 줄이기 위해, 반도체 소자의 게이트 저항을 증가시키면, 손실이 증가하여 반도체 소자의 온도가 증가하는 현상이 발생하고 시스템 효율이 낮아진다.

**발명의 내용**

**해결하려는 과제**

- [0019] 따라서, 본 발명은 스트레이 인덕턴스(stray inductance)를 저감시키는 구조를 갖는 양면 냉각형 파워 모듈을

제공하는 데 목적이 있다.

**과제의 해결 수단**

[0021] 상술한 목적을 달성하기 위한 본 발명의 양면 냉각형 파워 모듈은, 직렬 연결된 하이-사이드(high-side) 스위칭 소자와 로우-사이드(low-side) 스위칭 소자를 포함하고, 상기 하이-사이드 스위칭 소자에 병렬 연결된 하이-사이드 다이오드 소자 및 상기 로우-사이드 스위칭 소자에 병렬 연결된 로우-사이드 다이오드 소자를 포함하는 인버터 암(arm)이 모듈화된 양면 냉각형 파워 모듈에서, 제1 상부기관, 제1 하부 기관 및 상기 제1 상부기관과 상기 제1 하부 기관 사이에 임베딩된 상기 하이-사이드 다이오드 소자와 상기 로우-사이드 스위칭 소자를 포함하도록 모듈화된 제1 파워 모듈; 및 제2 상부 기관, 제2 하부 기관 및 상기 제2 상부기관과 상기 제2 하부 기관 사이에 임베딩된 상기 하이-사이드 스위칭 소자와 상기 로우-사이드 다이오드 소자를 포함하도록 모듈화된 제2 파워 모듈을 포함한다.

**발명의 효과**

[0023] 본 발명에 따르면, 기존의 모듈 대비 노이즈 측면에서 우수하며, 반도체 소자에 가해지는 스트레스를 줄일 수 있다. 또한 게이트 저항을 낮출 수 있어, 고주파 동작 시 유리하고 손실이 작아 효율이 우수하다. 게이트 저항을 낮춰 속도가 상승하면, 턴-온(turn-on), 턴-오프(turn-off)가 빠르고 데드 타임(dead time)이 줄어들어 파형의 왜곡이 줄어든다.

**도면의 간단한 설명**

[0025] 도 1은 종래의 인버터를 나타내는 회로도.  
 도 2는 종래의 파워 모듈의 3차원 모델.  
 도 3은 도 2에 도시한 3차원 모델을 도 2에 도시한 Y 축 방향(A 시점)으로 바라본 측면도.  
 도 4는 도 2에 도시한 3차원 모델을 위에서 바라본 평면도.  
 도 5는 종래의 파워 모듈의 3차원 구조에서 스트레이 인덕턴스(stray inductance)의 해석에 따른 제1 전류 경로를 평면도와 등가회로 상에 나타낸 도면.  
 도 6은 종래의 파워 모듈의 3차원 구조에서 스트레이 인덕턴스(stray inductance)의 해석에 따른 제2 전류 경로를 평면도와 등가회로 상에 나타낸 도면.  
 도 7은 본 발명의 실시 예에 따른 양면 냉각형 파워 모듈의 3차원 모델.  
 도 8은 도 7에 도시한 절단선 A-A'에 따른 3차원 모델의 단면도.  
 도 9는 도 7에 도시한 절단선 B-B'에 따른 3차원 모델의 단면도.  
 도 10은 도 7에 도시한 절단선 D-D'에 따른 3차원 모델의 단면도.  
 도 11는 도 7에 도시한 절단선 E-E'에 따른 3차원 모델의 단면도.  
 도 12은 도 7에 도시한 3차원 모델을 위에서 바라본 평면도.  
 도 13는 본 발명의 실시 예에 따른 파워 모듈의 3차원 구조에서 스트레이 인덕턴스(stray inductance)의 해석에 따른 제1 전류 경로를 도 14의 평면도 상에 나타낸 도면.  
 도 14는 본 발명의 실시 예에 따른 파워 모듈의 3차원 구조에서 스트레이 인덕턴스(stray inductance)의 해석에 따른 제2 전류 경로를 도 14의 평면도 상에 나타낸 도면.

**발명을 실시하기 위한 구체적인 내용**

[0026] 여기서 사용되는 전문용어는 단지 특정 실시예를 언급하기 위한 것이며, 본 발명을 한정하는 것을 의도하지 않는다. 여기서 사용되는 단수 형태들은 문구들이 이와 명백히 반대의 의미를 나타내지 않는 한 복수 형태들도 포함한다. 명세서에서 사용되는 "포함하는"의 의미는 특정 특성, 영역, 정수, 단계, 동작, 요소 및/또는 성분을 구체화하며, 다른 특정 특성, 영역, 정수, 단계, 동작, 요소, 성분 및/또는 군의 존재나 부가를 제외시키는 것은 아니다.

- [0027] 다르게 정의하지는 않았지만, 여기에 사용되는 기술용어 및 과학용어를 포함하는 모든 용어들은 본 발명이 속하는 기술분야에서 통상의 지식을 가진 자가 일반적으로 이해하는 의미와 동일한 의미를 가진다. 보통 사용되는 사전에 정의된 용어들은 관련기술문헌과 현재 개시된 내용에 부합하는 의미를 가지는 것으로 추가 해석되고, 정의되지 않는 한 이상적이거나 매우 공식적인 의미로 해석되지 않는다.
- [0028] 이하, 첨부된 도면을 참조하여 본 발명의 바람직한 실시 예에 의한 양면 냉각형 파워 모듈에 대하여 설명하기로 한다.
- [0029] 도 7 내지 13은 본 발명의 실시 예에 따른 양면 냉각형 파워 모듈을 나타내는 도면으로서, 도 7은 본 발명의 실시 예에 따른 양면 냉각형 파워 모듈의 3차원 모델이고, 도 8은 도 7에 도시한 절단선 A-A'에 따른 3차원 모델의 단면도이고, 도 9는 도 7에 도시한 절단선 B-B'에 따른 3차원 모델의 단면도이고, 도 10은 도 7에 도시한 절단선 D-D'에 따른 3차원 모델의 단면도이고, 도 11은 도 7에 도시한 절단선 E-E'에 따른 3차원 모델의 단면도이고, 도 12은 도 7에 도시한 3차원 모델을 위에서 바라본 평면도이다.
- [0030] 도 7은 본 발명의 실시 예에 따른 양면 냉각형 파워 모듈의 3차원 모델이고, 도 8은 도 7에 도시한 절단선 A-A'에 따른 3차원 모델의 단면도이고, 도 9는 도 7에 도시한 절단선 B-B'에 따른 3차원 모델의 단면도이고, 도 10은 도 7에 도시한 절단선 C-C'에 따른 3차원 모델의 단면도이고, 도 11은 도 7에 도시한 절단선 D-D'에 따른 3차원 모델의 단면도이고, 도 12는 도 7에 도시한 절단선 E-E'에 따른 3차원 모델의 단면도이다. 그리고 도 13은 도 7에 도시한 3차원 모델을 위에서 바라본 평면도이다.
- [0031] 본 발명의 실시 예에 따른 양면 냉각형 파워 모듈은 도 5 및 6에 도시된 바와 같은 스트레이 인덕턴스(stray inductance)에 따른 전류 경로를 최소화하여 스트레이 인덕턴스(stray inductance)를 저감시킬 수 있는 새로운 3차원 구조를 갖는다.
- [0032] 이를 위해, 본 발명의 실시 예에 따른 양면 냉각형 파워 모듈은 도 7에 도시된 바와 같이 종래의 양면 냉각형 파워 모듈(도 2의 3차원 모델)과는 다르게 2개의 모듈(100, 200)로 분리된다.
- [0033] 또한, 본 발명의 실시 예에 따른 양면 냉각형 파워 모듈은, 인버터 암(11, 13 또는 15)을 구성하는 하이-사이드 스위칭 소자, 하이-사이드 다이오드 소자, 로우-사이드 스위칭 소자 및 로우-사이드 소자가 하나의 파워 모듈에 임베딩되는 종래와는 다르게, 하이-사이드 다이오드 소자와 로우-사이드 스위칭 소자가 한 쌍으로 이루어 제1 파워 모듈(100)에 임베딩되고, 하이-사이드 스위칭 소자와 로우-사이드 다이오드 소자가 한 쌍을 이루어 제2 파워 모듈(200)에 임베딩된다.
- [0034] 본 발명의 실시 예에 따른 양면 냉각형 파워 모듈은, 제1 파워 모듈과 제2 파워 모듈에 공통으로 연결되는 제1 내지 제3 단자(151, 153 및 155)를 포함한다.
- [0035] 이하, 제1 및 제2 파워 모듈에 대해 상세히 설명한다.
- [0037] **제1 파워 모듈(100)**
- [0038] 도 7 내지 12를 참조하면, 제1 파워 모듈(100)은 제1 상부 기관(110), 제1 하부 기관(130) 및 상기 제1 상부 기관(110)과 상기 제1 하부 기관(130) 사이에 임베딩된 상기 하이-사이드 다이오드 소자(113)와 상기 로우-사이드 스위칭 소자(127)를 포함한다.
- [0039] 제1 상부 기관(110)은, 상부 구리층(101), 하부 구리층(105) 및 이들 사이에 개재되는 세라믹층(103)을 포함하는 DBC(Direct Bonded Copper) 기관일 수 있다. 제1 하부 기관(130)은 상부 구리층(117), 하부 구리층(121) 및 이들 사이에 개재되는 세라믹층(119)을 포함하는 DBC(Direct Bonded Copper) 기관일 수 있다.
- [0040] 제1 하부 기관(130) 상에는 하이-사이드 다이오드 소자(113)가 실장되고, 제1 상부 기관(110) 상에는 로우-사이드 스위칭 소자(127)가 실장된다.
- [0041] 구체적으로, 하이-사이드 다이오드 소자(113)는 솔더(도 8 및 10의 115)에 의해 상기 제1 하부 기관(130)의 상부 구리층(117) 상에 실장되고, 로우-사이드 스위칭 소자(127)는 솔더(도 9 및 10의 125)에 의해 상기 제1 상부 기관(110)의 하부 구리층(105) 상에 실장된다. 여기서, 하이-사이드 다이오드 소자(113)는 칩 형태로 제조된 전력용 반도체 소자일 수 있다. 로우-사이드 스위칭 소자(127)는 칩 형태로서, MOSFET, IGBT, Diode와 같은 전력용 반도체 소자일 수 있다.
- [0042] 제1 하부 기관(130) 상에 실장되는 하이-사이드 다이오드 소자(113)는 하이-사이드 스페이서(109)에 의해 상부 기관(130)과 전기적으로 연결된다. 구체적으로, 하이-사이드 다이오드 소자(113)는 솔더(111)에 의해 하이-사이드

드 스페이서(109)의 하부면과 전기적으로 연결되고, 하이-사이드 스페이서(109)의 상부면은 솔더(107)에 의해 상부 기관(110)의 하부 구리층(105)과 전기적으로 연결된다. 이때, 하이-사이드 스페이서(109)는 구리와 같은 금속재질일 수 있다. 따라서, 하이-사이드 다이오드 소자(113)는 하이-사이드 스페이서(109)에 의해 상부 기관(130)과 전기적으로 연결될 수 있다.

[0043] 로우-사이드 스위칭 소자(127)는 로우-사이드 스페이서(131)에 의해 하부 기관(130)과 전기적으로 연결된다. 구체적으로, 로우-사이드 스위칭 소자(127)는 솔더(129)에 의해 로우-사이드 스페이서(131)의 상부면과 전기적으로 연결되고, 로우-사이드 스페이서(131)의 하부면은 솔더(133)에 의해 제1 하부 기관(130)의 상부 구리층(117)과 전기적으로 연결된다. 이때, 로우-사이드 스페이서(131)는 구리와 같은 금속재질일 수 있다. 따라서, 로우-사이드 스위칭 소자(127)는 로우-사이드 스페이서(131)에 의해 하부 기관(130)과 전기적으로 연결될 수 있다.

[0044] 또한, 로우-사이드 스위칭 소자(127)는 제1 상부 기관(110)의 하부 구리층(105)을 패터닝한 제5 배선 패턴(도 10 및 12의 L5)에 의해 하이-사이드 스페이서(109)와 전기적으로 연결된다. 따라서, 하이-사이드 다이오드 소자(113)와 로우-사이드 스위칭 소자(127)는 하이-사이드 스페이서(109) 및 제5 배선 패턴(L5)에 의해 전기적으로 연결될 수 있다.

[0045] **제2 파워 모듈(200)**

[0046] 도 7 내지 13을 참조하면, 제2 파워 모듈(200)은 제2 상부 기관(210), 제2 하부 기관(230) 및 상기 제2 상부 기관(210)과 상기 제2 하부 기관(230) 사이에 임베딩된 상기 하이-사이드 스위칭 소자(213)와 상기 로우-사이드 다이오드 소자(227)를 포함한다.

[0047] 제2 상부 기관(210)은, 상부 구리층(201), 하부 구리층(205) 및 이들 사이에 개재되는 세라믹층(203)을 포함하는 DBC(Direct Bonded Copper) 기관일 수 있다. 제2 하부 기관(230)은 상부 구리층(217), 하부 구리층(221) 및 이들 사이에 개재되는 세라믹층(219)을 포함하는 DBC(Direct Bonded Copper) 기관일 수 있다.

[0048] 제2 하부 기관(230) 상에는 하이-사이드 스위칭 소자(213)가 실장되고, 제2 상부 기관(210) 상에는 로우-사이드 다이오드 소자(227)가 실장된다.

[0049] 구체적으로, 하이-사이드 스위칭 소자(213)는 솔더(215)에 의해 제2 하부 기관(230)의 상부 구리층(217) 상에 실장된다. 로우-사이드 다이오드 소자(227)는 솔더(225)에 의해 제2 상부 기관(210)의 하부 구리층(205) 상에 실장된다.

[0050] 제2 하부 기관(230) 상에 실장되는 하이-사이드 스위칭 소자(213)는 하이-사이드 스페이서(209)에 의해 제2 상부 기관(210)과 전기적으로 연결된다. 구체적으로, 하이-사이드 스위칭 소자(213)는 솔더(211)에 의해 하이-사이드 스페이서(209)의 하부면과 전기적으로 연결되고, 하이-사이드 스페이서(209)의 상부면은 솔더(207)에 의해 제2 상부 기관(210)의 하부 구리층(205)과 전기적으로 연결된다. 따라서, 제2 하부 기관(230) 상에 실장되는 하이-사이드 스위칭 소자(213)는 제2 상부 기관(210)과 전기적으로 연결될 수 있다.

[0051] 제2 상부 기관(210) 상에 실장되는 로우-사이드 다이오드 소자(227)는 로우-사이드 스페이서(231)에 의해 제2 하부 기관(230)과 전기적으로 연결된다. 구체적으로, 로우-사이드 다이오드 소자(227)는 솔더(229)에 의해 로우-사이드 스페이서(231)의 상부면과 전기적으로 연결되고, 로우-사이드 스페이서(231)의 하부면은 솔더(233)에 의해 제2 하부 기관(230)의 상부 구리층(217)과 전기적으로 연결된다. 따라서, 제2 상부 기관(210) 상에 실장되는 로우-사이드 다이오드 소자(227)는 제2 하부 기관(230)과 전기적으로 연결될 수 있다.

[0052] 또한, 로우-사이드 다이오드 소자(227)는 제2 상부 기관(210)의 하부 구리층(205)을 패터닝한 제6 배선 패턴(도 11 및 12의 L6)에 의해 하이-사이드 스페이서(209)와 전기적으로 연결된다.

[0053] 따라서, 제2 상부 기관(210) 상에 실장되는 로우-사이드 다이오드 소자(227)는 제6 배선 패턴(L6)과 하이-사이드 스페이서(209)에 의해 제2 하부 기관(230) 상에 실장되는 하이-사이드 스위칭 소자(213)와 전기적으로 연결될 수 있다.

[0054] **제1 단자(151)**

[0055] 제1 단자(151, Terminal\_P)는 도 2에 도시된 Terminal\_P에 대응하는 단자로서, 제1 파워 모듈(100)에 임베딩된 하이-사이드 다이오드 소자(113)와 제2 파워 모듈(200)에 임베딩된 하이-사이드 스위칭 소자(213)에 공통으로 연결된다.

[0056] 구체적으로, 제1 단자(151, Terminal\_P)는 중앙에 결합홈(H1)이 형성되며, 결합홈(H1)에는 제1 파워 모듈(100)



에 임베딩된 하이-사이드 다이오드 소자(113)와 제2 파워 모듈(200)에 임베딩된 하이-사이드 스위칭 소자(213)에게 양의 전압을 인가하는 양극 단자(도시하지 않음)가 결합된다.

[0057] 제1 단자(151, Terminal\_P)의 한쪽 단부는 솔더(도 8의 123)에 의해 제1 파워 모듈(100)의 제1 하부 기관(130)에 전기적으로 연결되고, 제1 단자(151, Terminal\_P)의 다른쪽 단부는 솔더(도 8의 223)에 의해 제2 파워 모듈(200)의 제2 하부 기관(230)에 전기적으로 연결된다.

[0058] 제1 하부 기관(130)에 전기적으로 연결된 제1 단자(151, Terminal\_P)의 한쪽 단부는 제1 하부 기관(130)의 상부 구리층(117)을 패터닝한 제1 배선 패턴(도 8 및 12의 L1)에 의해 하이-사이드 다이오드 소자(113)에 전기적으로 연결된다.

[0059] 제2 하부 기관(230)에 전기적으로 연결된 제1 단자(151, Terminal\_P)의 다른쪽 단부는 제2 하부 기관(230)의 상부 구리층(217)을 패터닝한 제2 배선 패턴(도 8 및 12의 L2)에 의해 하이-사이드 스위칭 소자(213)와 전기적으로 연결된다.

[0060] **제2 단자(153)**

[0061] 제2 단자(153, Terminal\_N)는 도 2에 도시한 Terminal\_N에 대응하는 단자로서, 제2 단자(153, Terminal\_N)는 중앙에 결합홈(H2)이 형성되며, 결합홈(H2)에는 제1 파워 모듈(100)에 임베딩된 로우-사이드 스위칭 소자(127)와 제2 파워 모듈(200)에 임베딩된 로우-사이드 다이오드 소자(227)에게 음의 전압을 인가하는 음극 단자(도시하지 않음)가 결합된다.

[0062] 구체적으로, 제2 단자(153, Terminal\_N)의 한쪽 단부는 솔더(도 9의 135)에 의해 제1 하부 기관(130)에 전기적으로 연결되고, 제2 단자(153, Terminal\_N)의 다른쪽 단부는 솔더(도 9의 235)에 의해 제2 하부 기관(230)에 전기적으로 연결된다.

[0063] 제1 하부 기관(130)에 연결되는 제2 단자(153, 단자 N)의 한쪽 단부는 제1 하부 기관(130)의 상부 구리층(117)을 패터닝한 제3 배선 패턴(도 9 및 12의 L3)에 의해 로우-사이드 스페이서(131)와 전기적으로 연결된다. 따라서, 제1 하부 기관(130)에 연결되는 제2 단자(153, Terminal\_N)는 제3 배선 패턴(도 9의 L3) 및 로우-사이드 스페이서(131)에 의해 제1 상부 기관(110) 상에 실장된 로우-사이드 스위칭 소자(127)와 전기적으로 연결될 수 있다.

[0064] 제2 하부 기관(230)에 연결되는 제2 단자(153, Terminal\_N)의 다른쪽 단부는 제2 하부 기관(230)의 상부 구리층(217)을 패터닝한 제4 배선 패턴(도 9 및 12의 L4)에 의해 로우-사이드 스페이서(231)에 전기적으로 연결된다. 따라서, 제2 단자(153, Terminal\_N)는 제4 배선 패턴(도 9 및 12의 L4)과 로우-사이드 스페이서(231)에 의해 제2 상부 기관(210) 상에 실장된 로우-사이드 다이오드 소자(227)와 전기적으로 연결된다.

[0065] 결과적으로, 제2 단자(153, Terminal\_N)는 제1 파워 모듈(100)의 제1 상부 기관(110) 상에 실장된 로우-사이드 스위칭 소자(127)와 제2 파워 모듈(200)의 제2 상부 기관(210) 상에 실장된 로우-사이드 다이오드 소자(227)에 공통으로 연결된다.

[0066] 도 13은 본 발명의 실시 예에 따른 파워 모듈에서 스트레이 인덕턴스(stray inductance)의 해석에 따른 제1 전류 경로를 도 12의 평면도를 이용하여 나타낸 도면이다.

[0067] 도 13을 참조하면, 제1 전류 경로는, 도 5의 등가 회로상에 나타나는 전류 경로에 대응하는 것으로, 제1 단자(151, Terminal\_P)에 의한 경로, 제2 하부 기관(230)에 패터닝된 제2 배선 패턴(L2)에 의한 경로, 제2 하부 기관(230) 상에 실장된 하이-사이드 스위칭 소자(213)에 의한 경로, 하이-사이드 스위칭 소자(213)를 제2 상부 기관(210)에 연결하는 하이-사이드 스페이서(209)에 의한 경로, 하이-사이드 스페이서(209)와 제2 상부 기관(210)에 실장된 로우-사이드 다이오드 소자(227)를 연결하는 제6 배선 패턴(L6)에 의한 경로, 로우-사이드 다이오드 소자(227)에 의한 경로, 로우-사이드 다이오드 소자(227)를 제2 하부 기관(230)에 연결하는 로우-사이드 스페이서(231)에 의한 경로, 로우-사이드 스페이서(231)와 제2 단자(153, Terminal\_N)를 연결하는 제4 배선 패턴(L4)에 의한 경로, 및 제2 단자(153, Terminal\_N)에 의한 경로를 포함한다.

[0068] 도 5에 도시한 전류 경로와 대비할 때, 그 길이가 대폭 짧아진 것을 확인할 수 있다. 이것은 본 발명의 파워 모듈의 구조에서는 도 5의 스페이서(도 4의 23)가 삭제되어, 삭제된 스페이서(도 4의 23)만큼 그 경로가 줄어들기 때문에 가능한 것이다.

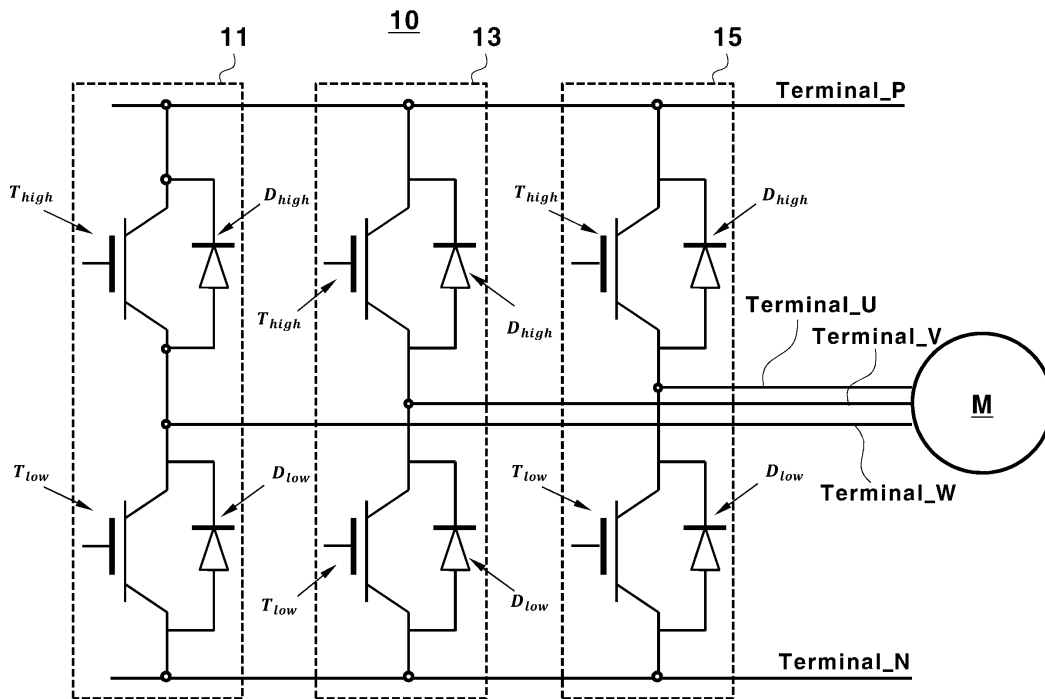
[0069] 도 5의 스페이서(도 4의 23)의 삭제가 가능한 것은 무엇보다도 본 발명의 파워 모듈의 구조에서는 제1 전류경로

를 형성하는 하이-사이드 스위치 소자(213)와 로우-사이드 다이오드 소자(231)를 한 쌍으로 구성하여 이를 제2 파워 모듈(200)에 임베딩한 상태에서 로우-사이드 다이오드 소자(231)를 하부 기관(230)이 아니라 상부 기관(210) 상에 실장하였기 때문에 가능한 것이다. 즉, 본 발명의 파워 모듈에서는 도 5의 전류 경로 ⑤, ⑦, ⑧, ⑨가 삭제될 수 있다.

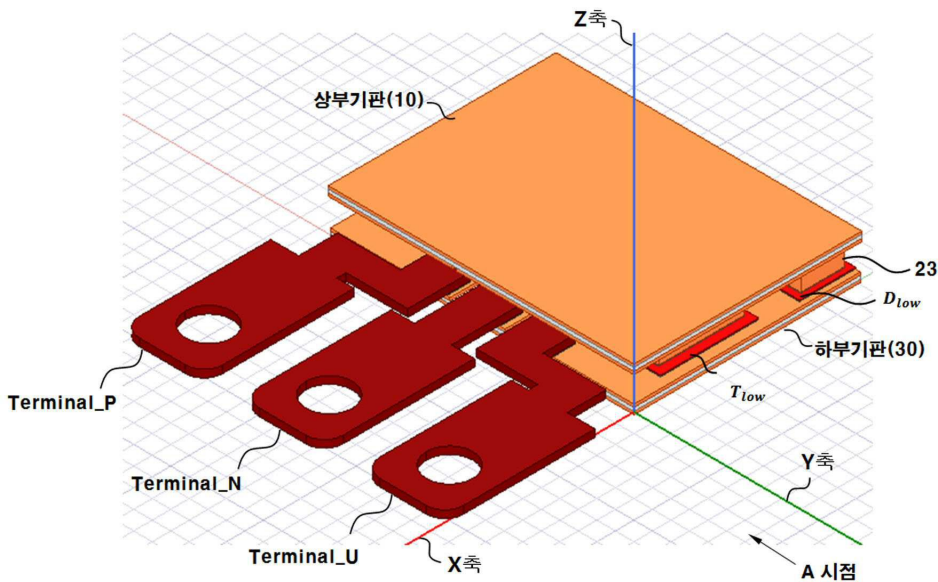
- [0070] 이와 같이, 종래에 비해 제1 전류 경로가 짧아졌기 때문에, 그에 따른 스트레이 인덕턴스를 크게 줄일 수 있다.
- [0071] 도 14는 본 발명의 실시 예에 따른 파워 모듈의 3차원 구조에서 스트레이 인덕턴스(stray inductance)의 해석에 따른 제2 전류 경로를 도 12의 평면도를 이용하여 나타낸 도면이다.
- [0072] 도 14를 참조하면, 제2 전류 경로는, 도 6의 등가 회로상에 나타나는 전류 경로에 대응하는 것으로, 제1 단자(151, Terminal\_P)에 의한 경로, 제1 배선 패턴(L1), 하이-사이드 다이오드 소자(113)에 의한 경로, 하이-사이드 스페이스(109), 제5 배선 패턴(L5), 제1 상부 기관(110) 상에 실장된 로우-사이드 스위칭 소자(127), 로우-사이드 스페이스(131), 제3 배선 패턴(L3) 및 제2 단자(153, Terminal\_N)을 포함한다.
- [0073] 도 6에 도시한 전류 경로와 대비할 때, 그 길이가 대폭 짧아진 것을 확인할 수 있다. 도 13에서 설명한 바와 유사하게 본 발명의 파워 모듈의 구조에서는 도 6의 스페이스(도 4의 23)가 삭제되어, 삭제된 스페이스(도 4의 23)만큼 그 경로가 줄어들기 때문에 가능한 것이다.
- [0074] 도 6의 스페이스(도 4의 23)의 삭제가 가능한 것은 무엇보다도 본 발명의 파워 모듈의 구조에서는 제2 전류경로를 형성하는 하이-사이드 다이오드 소자(113)와 로우-사이드 스위칭 소자(127)를 한 쌍으로 구성하여 이를 제1 파워 모듈(200)에 임베딩한 상태에서 로우-사이드 스위칭 소자(127)를 하부 기관(130)이 아니라 상부 기관(110) 상에 실장하였기 때문에 가능한 것이다. 이렇게 함으로써, 본 발명의 파워 모듈에서는 도 6의 전류 경로 ④, ⑥, ⑦가 삭제될 수 있다.
- [0075] 이와 같이, 종래에 비해 제2 전류 경로 또한 짧아졌기 때문에, 그에 따른 스트레이 인덕턴스를 크게 줄일 수 있다.
- [0077] 이상 설명한 바와 같이, 본 발명에 따라 개선된 파워모듈은 기존대비 30% 낮은 over voltage를 가짐을 시뮬레이션 및 테스트를 거쳐 확인할 수 있었다. 이는 기존의 모듈 대비 노이즈 측면에서 우수하며, 반도체 소자에 가해지는 스트레스를 줄일 수 있다. 또한, 게이트 저항을 낮출 수 있어, 고주파 동작 시 유리하고 손실이 작아 효율이 우수하다. 게이트 저항을 낮춰 속도가 상승하면, 턴-온(turn-on), 턴-오프(turn-off)가 빠르고 데드 타임(dead time)이 줄어들어 파형의 왜곡이 줄어든다.
- [0078] 이상에서와 같이 본 발명은 설명된 실시 예들의 구성과 방법이 한정되게 적용될 수 있는 것이 아니라, 실시 예들은 다양한 변형이 이루어질 수 있도록 각 실시 예들의 전부 또는 일부가 선택적으로 조합되어 구성될 수도 있다.

도면

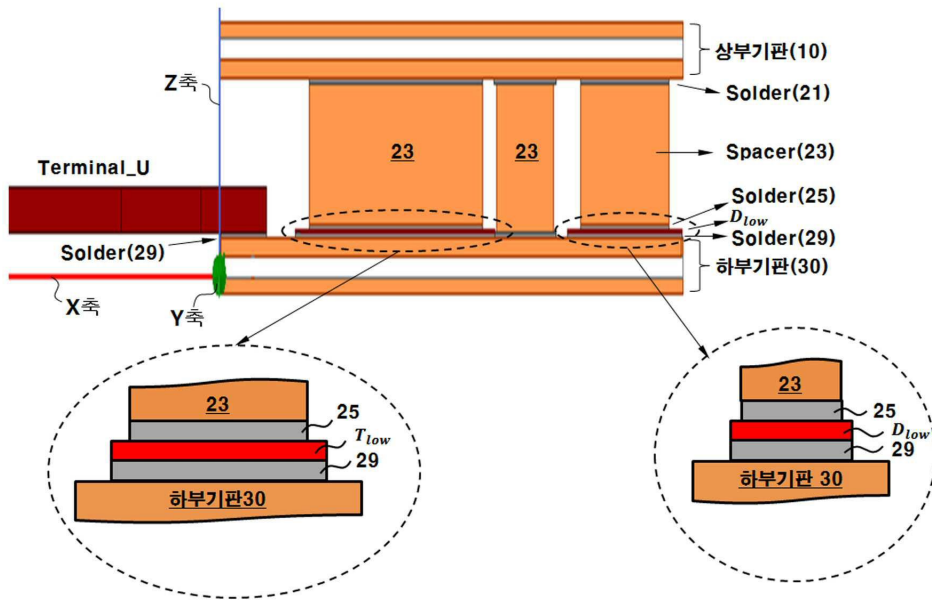
도면1



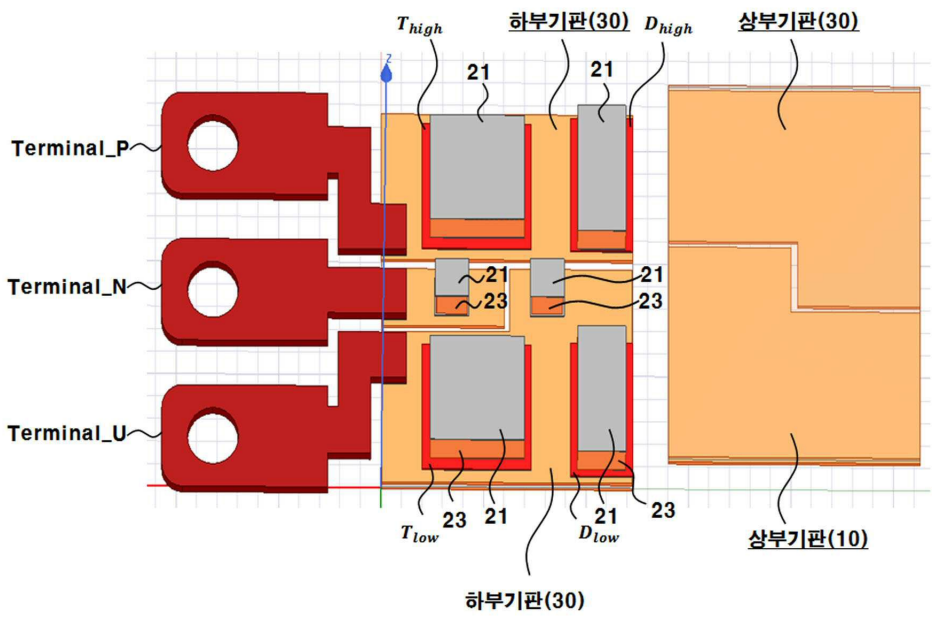
도면2



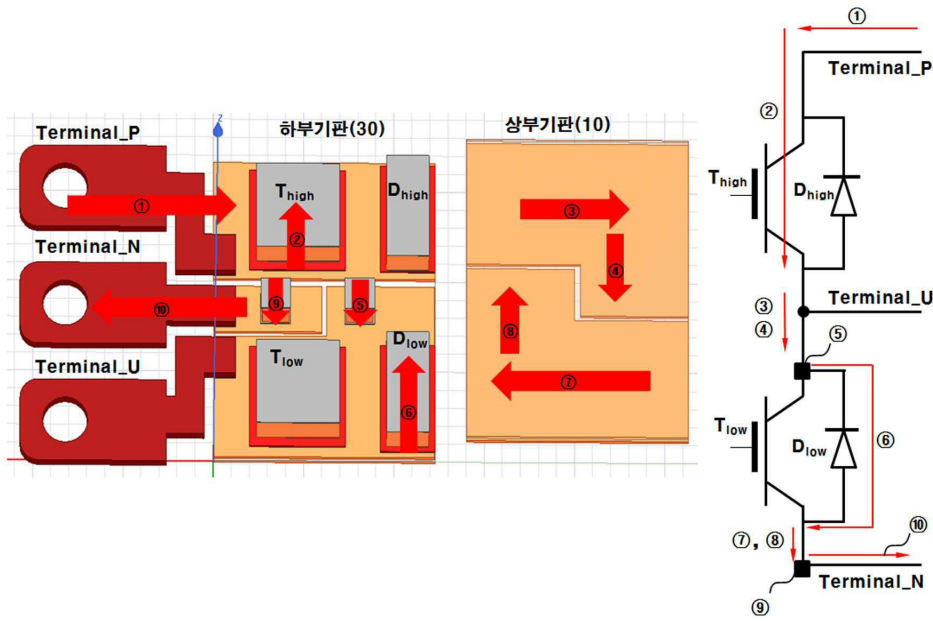
도면3



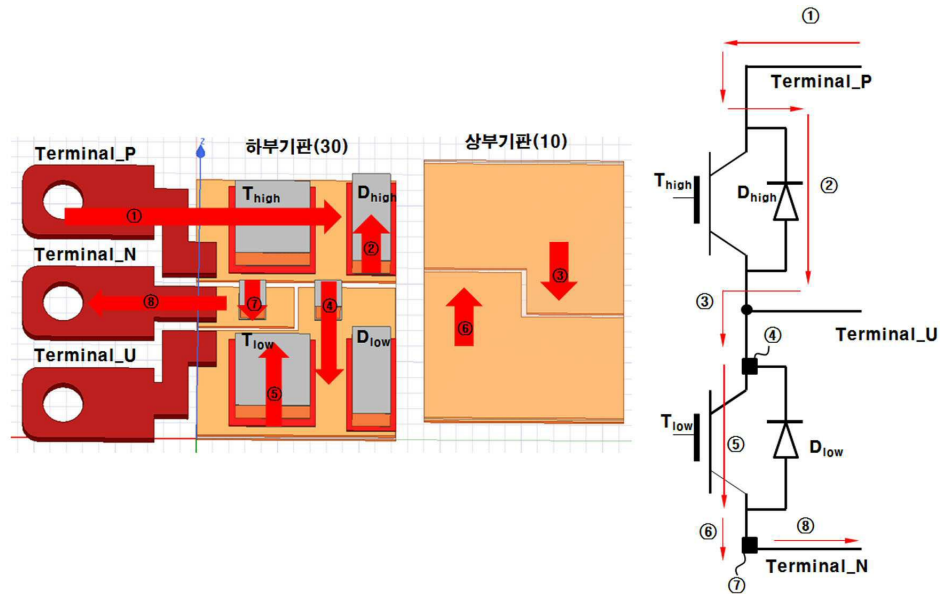
도면4



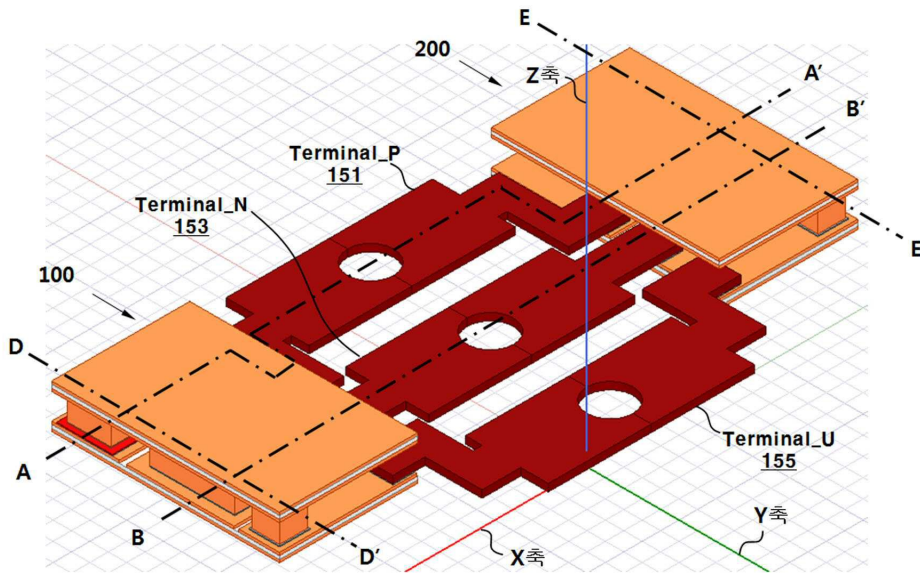
도면5



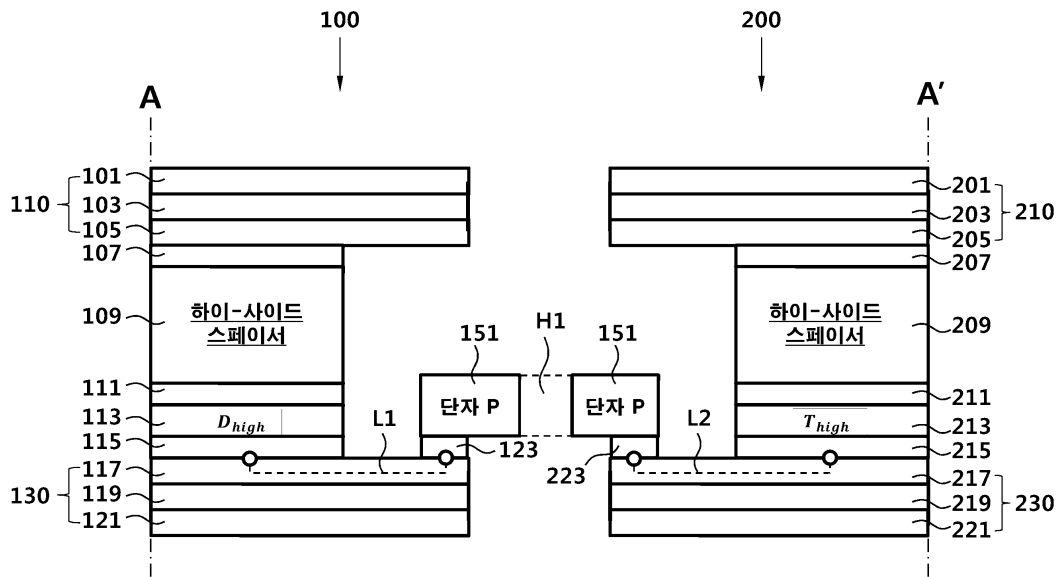
도면6



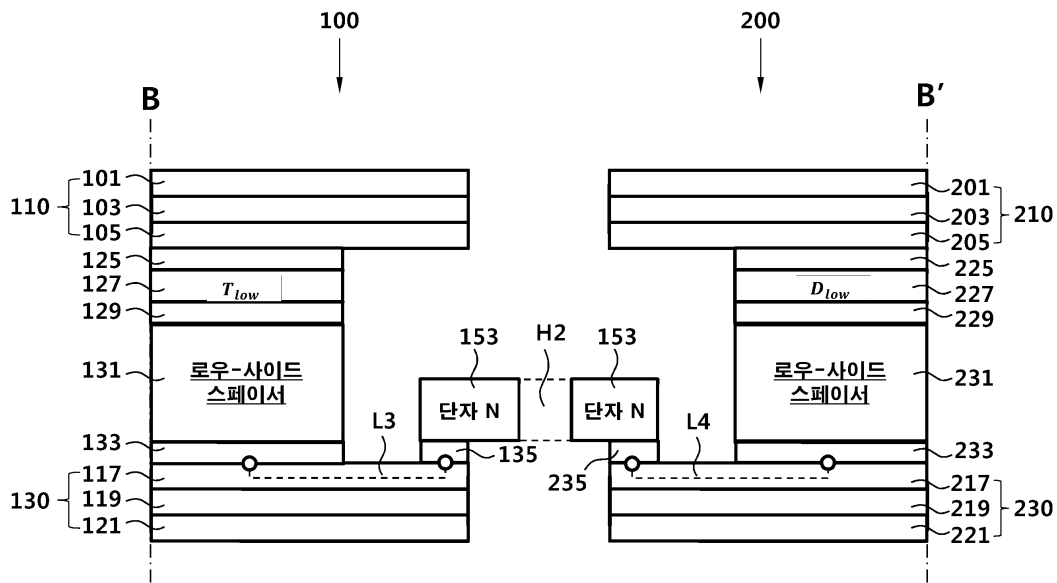
도면7



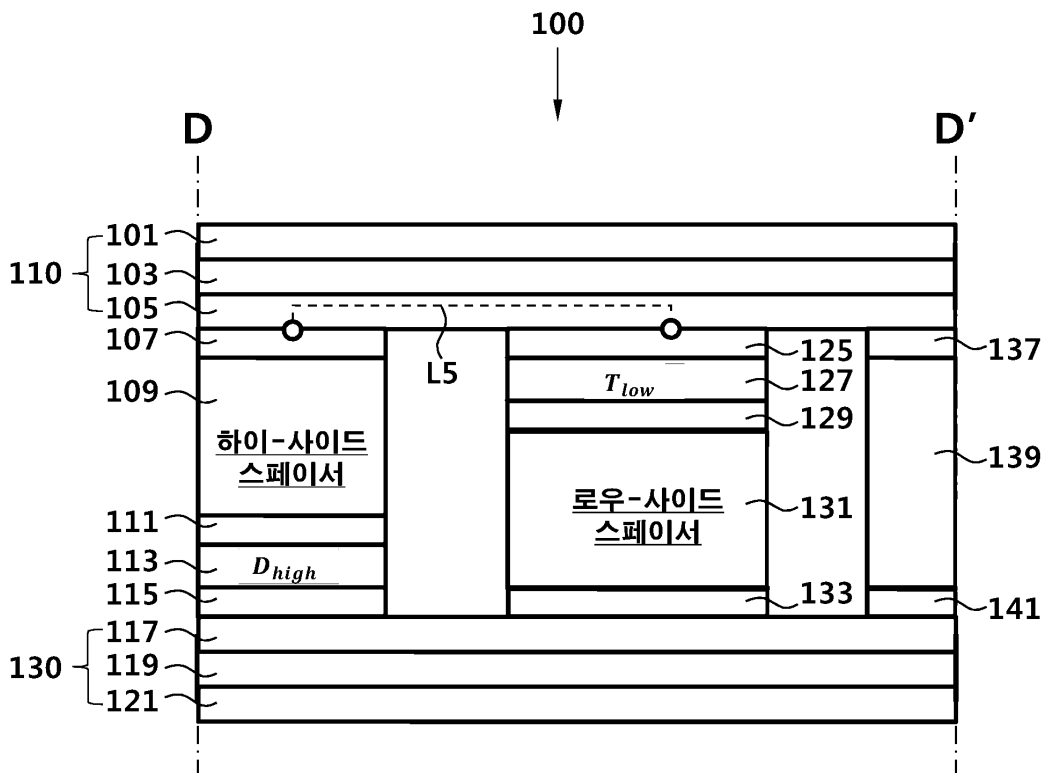
도면8



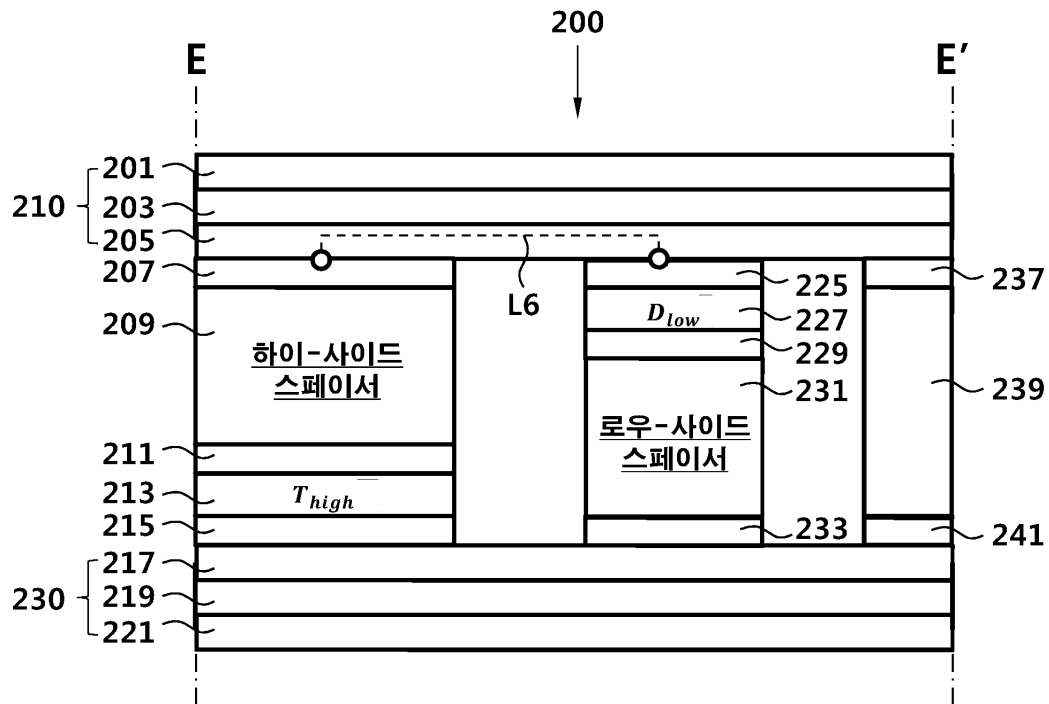
도면9



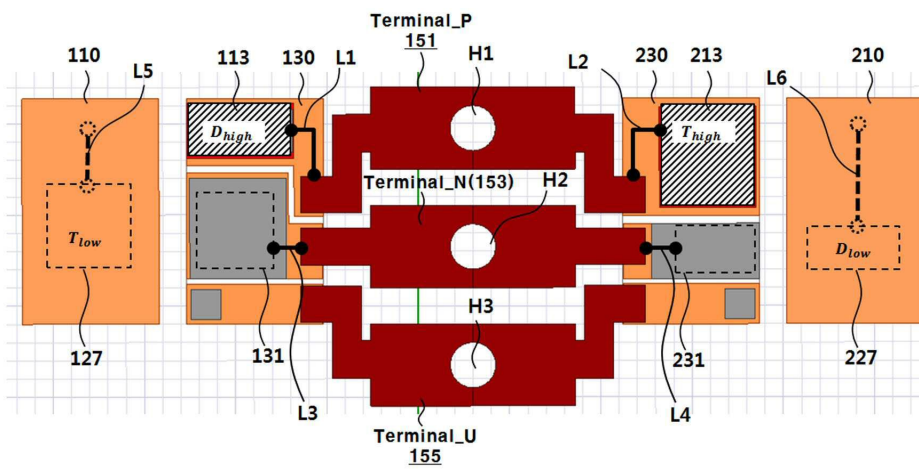
도면10



도면11

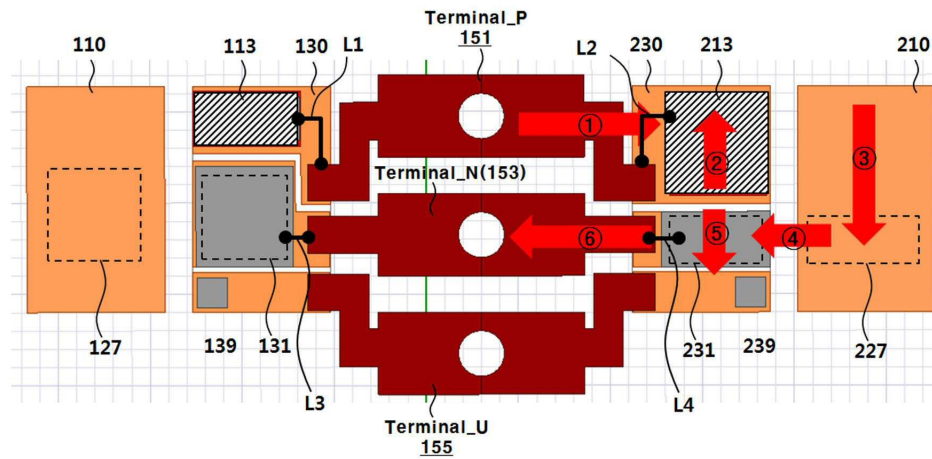


도면12

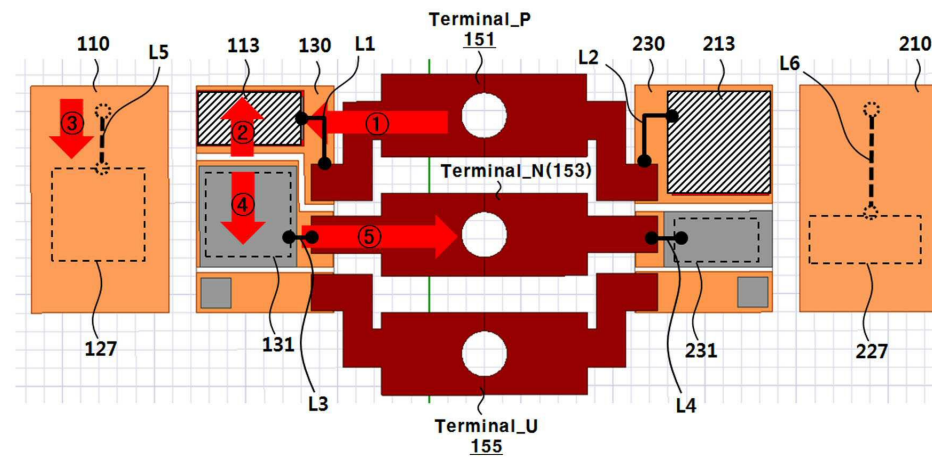




도면13



도면14



【심사관 직권보정사항】

【직권보정 1】

【보정항목】 청구범위

【보정세부항목】 청구항 10

【변경전】

제1항에서,

스트레이 인덕턴스(stray inductance)의 해석에 따른 제1 전류 경로는,

제1 단자(Terminal\_P);

상기 제2 하부 기판상에 실장되어, 상기 제1 단자(단자 P)와 전기적으로 연결되는 하이-사이드 스위칭 소자;

상기 하이-사이드 스위칭 소자와 상기 제2 상부 기판을 전기적으로 연결하는 하이-사이드 스페이서;

상기 제2 상부 기판 상에 실장되어, 상기 하이-사이드 스페이서와 전기적으로 연결되는 로우-사이드 다이오드 소자;

상기 로우-사이드 다이오드 소자와 상기 제2 하부 기판을 전기적으로 연결하는 로우-사이드 스페이서; 및

상기 로우-사이드 스페이서와 전기적으로 연결되는 제2 단자(단자\_N)

를 포함하도록 구성된 경로인 것인 양면 냉각형 파워 모듈.

**【변경후】**

제1항에서,

스트레이 인덕턴스(stray inductance)의 해석에 따른 제1 전류 경로는,

제1 단자(Terminal\_P);

상기 제2 하부 기판상에 실장되어, 상기 제1 단자(Terminal\_P)와 전기적으로 연결되는 하이-사이드 스위칭 소자;

상기 하이-사이드 스위칭 소자와 상기 제2 상부 기판을 전기적으로 연결하는 하이-사이드 스페이서;

상기 제2 상부 기판 상에 실장되어, 상기 하이-사이드 스페이서와 전기적으로 연결되는 로우-사이드 다이오드 소자;

상기 로우-사이드 다이오드 소자와 상기 제2 하부 기판을 전기적으로 연결하는 로우-사이드 스페이서; 및

상기 로우-사이드 스페이서와 전기적으로 연결되는 제2 단자(단자\_N)

를 포함하도록 구성된 경로인 것인 양면 냉각형 파워 모듈.

**【직권보정 2】**

**【보정항목】** 청구범위

**【보정세부항목】** 청구항 11

**【변경전】**

제1항에서,

스트레이 인덕턴스(stray inductance)의 해석에 따른 제2 전류 경로는,

제1 단자(Terminal\_P);

상기 제1 하부 기판 상에 실장되어, 상기 제1 단자(단자 P)와 전기적으로 연결되는 하이-사이드 다이오드 소자;

상기 하이-사이드 다이오드 소자와 상기 제1 상부 기판을 전기적으로 연결하는 하이-사이드 스페이서;

상기 제1 상부 기판 상에 실장되어, 상기 하이-사이드 스페이서와 전기적으로 연결되는 로우-사이드 스위칭 소자;

상기 로우-사이드 스위칭 소자와 상기 제1 하부 기판을 전기적으로 연결하는 로우-사이드 스페이서; 및

상기 로우-사이드 스페이서와 전기적으로 연결되는 제2 단자(Terminal\_N)

를 포함하도록 구성된 경로인 것인 양면 냉각형 파워 모듈.

**【변경후】**

제1항에서,

스트레이 인덕턴스(stray inductance)의 해석에 따른 제2 전류 경로는,

제1 단자(Terminal\_P);

상기 제1 하부 기판 상에 실장되어, 상기 제1 단자(Terminal\_P)와 전기적으로 연결되는 하이-사이드 다이오드 소자;

상기 하이-사이드 다이오드 소자와 상기 제1 상부 기판을 전기적으로 연결하는 하이-사이드 스페이서;

상기 제1 상부 기판 상에 실장되어, 상기 하이-사이드 스페이서와 전기적으로 연결되는 로우-사이드 스위칭 소자;

상기 로우-사이드 스위칭 소자와 상기 제1 하부 기판을 전기적으로 연결하는 로우-사이드 스페이서; 및

상기 로우-사이드 스페이서와 전기적으로 연결되는 제2 단자(Terminal\_N)

를 포함하도록 구성된 경로인 것인 양면 냉각형 파워 모듈.